

西日本工業大学 正員 安原一哉

西日本工業大学 学生員 ○城市 誠

1. まえがき 筆者らはこれまでに、Hvorslev³⁾の破壊規準式と同等の関係が弾性平衡状態にも成り立つとの仮定から飽和粘土の力学的挙動に重要な影響を及ぼすと考えられる静止土圧係数(K_0 値)を理論的に評価する方法を提案した。これらの理論は、力の釣り合いを考える面を 1)八面体応力面 2)Mobilized 面の両方を考えており、二つの理論式のどちらがより実測結果を説明しうるかにつけては、まだ十分な考察を行っていない。その理由の一つは、Hvorslev の強度定数を室内試験で求めることが困難なためである。本文は、限られた範囲ではあるが、いくつかの研究による強度定数と K_0 値に関する情報が得られたものとのことを検討したものである。

2. 静止土圧係数評価のための理論式 ここでは、Mobilized 面上を考えた理論式のみを要約する。Mobilized 面上の考えは、図-1 の I-I' 面の力の釣り合いを考える。八面体応力面における力の釣り合いと同様に Hvorslev の破壊規準式より、 $T_m = \frac{1}{2}(1-K_0)\cos\phi_{em}$ (1) $T_m' = \frac{1}{2}(1+K_0)-(1-K_0)\sin\phi_{em}$ (1)' より次式が得られる。

$$(1-K_0)\cos\phi_{em} = k_m \frac{1+K_0}{n^2} + [(1+K_0)-(1-K_0)\sin\phi_{em}] \tan\phi_{em} \quad (2)$$

(載荷時)

$$(1-K_0)\cos\phi_{em} = k_m \frac{1+K_0}{n^2} + [(1+K_0)-(1-K_0)\sin\phi_{em}] \tan\phi_{em} \quad (2)'$$

(除荷時)

ここで、 ϕ_e と ϕ_{em} の関係式より

$$\sin\phi_{em} = \frac{\tan\phi_e}{\sqrt{F^2 + \tan^2\phi_e}} \quad (3)$$

$$\cos\phi_{em} = \frac{F}{\sqrt{F^2 + \tan^2\phi_e}} \quad (3)'$$

が得られる。以上のことを K_0 につけて整理すれば

$$K_0 = \frac{\sqrt{F^2 + \tan^2\phi_e} - \tan\phi_e - \frac{K}{n^2}}{\sqrt{F^2 + \tan^2\phi_e} + \tan\phi_e + \frac{K}{n^2}} \quad (4)$$

(載荷時)

$$K_0 = \frac{\sqrt{F^2 + \tan^2\phi_e} - \tan\phi_e - \frac{K}{n^2}}{\sqrt{F^2 + \tan^2\phi_e} + \tan\phi_e + \frac{K}{n^2}} \quad (4)'$$

(除荷時)

を得る。受働時に $t=0$ と同様に $t=0$ Mobilized 面上を考える。また従来の種々の理論式は、粘性土の場合も内部摩擦角のみに拘束されず議論しているが、粘着成分を何らかの形で K_0 値に寄与している。Hvorslev の破壊規準式における種々の実験値によれば、せりせり 0.1 ぐらいいふると報告されている。すなわち、 $K_0=0.1$ と $t=\tan\phi_e$, F は総応力である。
 $K_0 = \frac{\sqrt{2} - (t+0.1)/F}{\sqrt{2} + (t+0.1)/F} \quad (5)$

$$K_0 = \frac{\sqrt{F^2 + t^2} - t - 0.1}{\sqrt{F^2 + t^2} + t + 0.1} \quad (5)'$$

(除荷時)

ここで、 F をいくらにすればよいかが問題になるが Liquef's 提案に

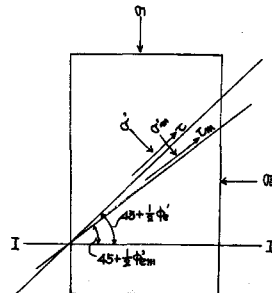


図-1 Stress state on the equilibrium planes of an element of material.

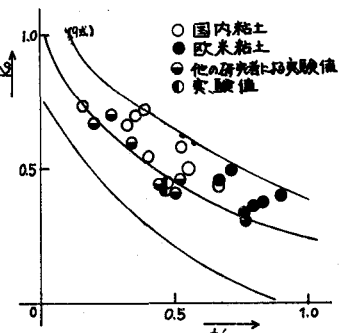


図-2 静止土圧係数 K_0 と有効内部摩擦角 ϕ' の関係

より、 $\phi_{em} = 1.57\phi_e$ とすれば

$$K_0 = \frac{\sqrt{2} - (\frac{2}{\pi})(t+0.1)}{\sqrt{2} + (\frac{2}{\pi})(t+0.1)} \quad (6) \quad (\text{載荷時})$$

$$K_{0s} = \frac{\sqrt{(\frac{1}{2}t^2 + t^2) - t - 0.1}}{\sqrt{(\frac{1}{2}t^2 + t^2) + t + 0.1}} \quad (6') \quad (\text{除荷時})$$

一方宋を用いた Rowe の提案式より、 $\phi_{em} = \phi_e$ すなわち $F=1.0$ と仮定

$$\text{すれば } K_0 = \frac{\sqrt{2} - t - 0.1}{\sqrt{2} + t + 0.1} \quad (7) \quad (\text{載荷時})$$

$$K_{0s} = \frac{\sqrt{1 + t^2} - t - 0.1}{\sqrt{1 + t^2} + t + 0.1} \quad (7') \quad (\text{除荷時})$$

また、Abderhamid らによれば、 $\phi_{em} = 0.75\phi_e$ を提案している。

$$K_0 = \frac{\sqrt{2} - 0.75(t+0.1)}{\sqrt{2} + 0.75(t+0.1)} \quad (8) \quad (\text{載荷時})$$

$$K_{0s} = \frac{\sqrt{(\frac{4}{3}t^2 + t^2) - t - 0.1}}{\sqrt{(\frac{4}{3}t^2 + t^2) + t + 0.1}} \quad (8') \quad (\text{除荷時})$$

以上の計算式(6),(7),(8)によると得たグラフが図-2, 図-3, 図-4である。

一方彼らは、過去の中と中と開して次式のような結果を得ている。

$$\phi_e = 1.15(\phi' - 9)$$

が成立立つことを見出している。上式を(6),(7),(8)式に代入すれば圧縮排水センサ試験で得た中から最も比較的簡単な K_0 値を求めることができる。すなわち、下式のようになる。また計算結果は図中に示している。

$$K_0 = \frac{\sqrt{2} - (\frac{2}{\pi})[\tan\{1.15(\phi' - 9)\} + 0.1]}{\sqrt{2} + (\frac{2}{\pi})[\tan\{1.15(\phi' - 9)\} + 0.1]} \quad (9)$$

$$K_0 = \frac{\sqrt{2} - \tan\{1.15(\phi' - 9)\} - 0.1}{\sqrt{2} + \tan\{1.15(\phi' - 9)\} + 0.1} \quad (10)$$

$$K_0 = \frac{\sqrt{2} - 0.75[\tan\{1.15(\phi' - 9)\} + 0.1]}{\sqrt{2} + 0.75[\tan\{1.15(\phi' - 9)\} + 0.1]} \quad (11)$$

3. 実測結果との比較 計算結果と比較するため他の研究者による既出の実験結果による K_0 値をプロットしたのが図(2)(3)(4)である。図には筆者によつて得た実験結果も併記している。筆者らの実験方法はすでに報告されており三軸試験機を用ひて軸圧と一定荷重に保ち圧縮期間中に供試体の側方ヒズミが生じないように側圧をコントロールするという方法である。筆者らの今回の実験結果よりわかることは、同じ ϕ_e 値を有する粘土 ($G_s=2.57, uL=116kN/m^2, I_p=20$) でも、圧縮圧力が大きくなほど K_0 値はそれに伴つて大きくなるという事実である。またそれそれの理論式について比較検討してみると、 $\phi_{em} = \phi_e$ とし場合と $\phi_{em} = 0.75\phi_e$ とした場合には前者の方が実験結果とよく一致する。また八面体応力面上より Mobilized 面上と応力の釣り合と考へた理論式の方が実験結果を良く説明していると思われる。

4. あとがき Hvorslev の破壊規則式が圧縮平衡状態(弹性平衡状態)においても成立するとの仮定をもとに得られた式と実験結果と照合することによつて K_0 値に及ぼす要因について若干の考察を行つた。本文の結論は、(1)粘着力成分が大きくなれば同じ内部摩擦角における K_0 値は小さくなる。(2)八面体応力面上と応力の釣り合を考慮した理論式より特定の面(Mobilized 面)上で考へた理論式の方が実験結果と平均的に一致するようである。

引用文献 1) 山内・安原 (1973): 土質工学会論文報告集, Vol. 14, No. 2, PP113-118 2) 安原 (1976): 材料, Vol. 25, No. 274, PP627-631

3) Hvorslev, A.T (1960), Proc. Shear Strength of Cohesive Soils, ASCE, PP169. 4) Abdelhamid, M.S. and R.J. Kriek (1976): Proc. ASCE, GT7, PP721-738. 5) 安原・山内 (1976): 土木学会論文報告集, No. 246, PP. 93-103.

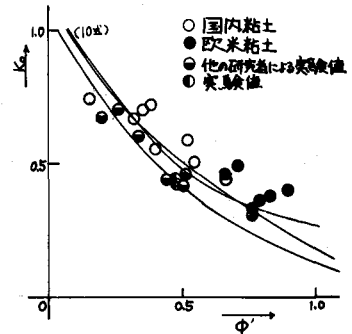


図-3 静止圧強度 K_0 と有効内摩擦角 ϕ' の関係

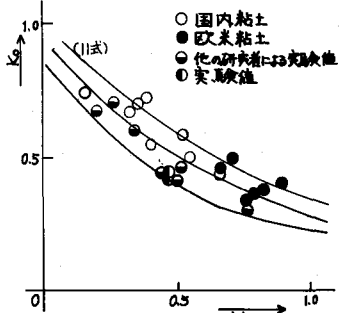


図-4 静止圧強度 K_0 と有効内摩擦角 ϕ' の関係